

§ 5.1-5.2

一、法拉第电磁感应定律

1. 法拉第电磁感应定律

2. 楞次定律

3. 电磁感应定律的实例

（涡电流，电磁阻尼，趋肤效应）

二、动生电动势

三、感生电动势

一、法拉第电磁感应定律

1. 法拉第电磁感应定律

当穿过回路的磁通量发生变化时，回路中就产生感应电动势，回路中感应电动势的大小与穿过回路磁通量随时间的变化率成正比。

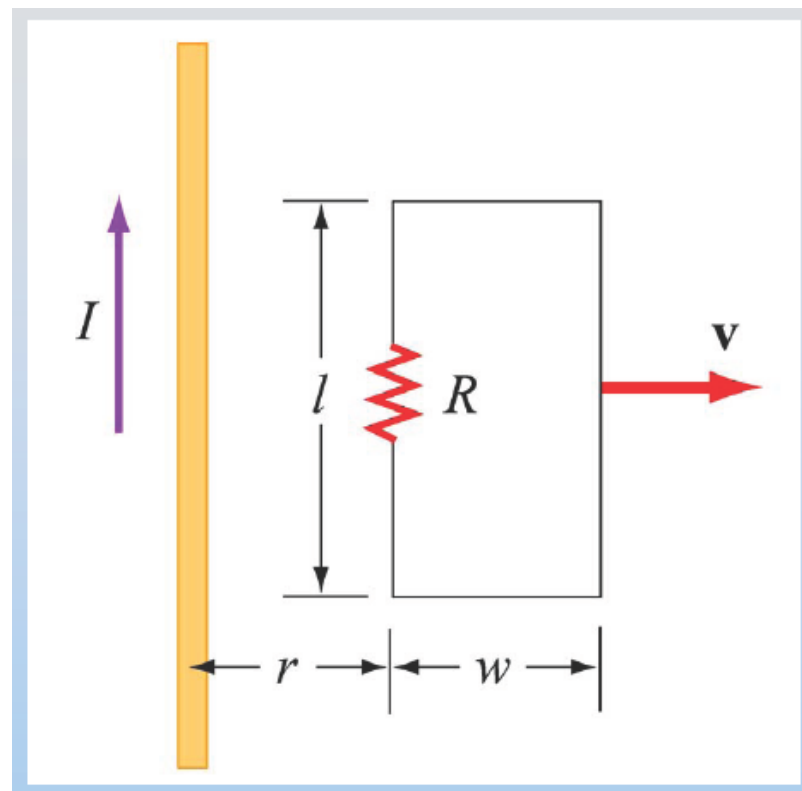
$$\mathcal{E} = -\frac{d\Phi}{dt}.$$

2. 楞次定律

闭合回路中感应电流的方向，总是使得感应电流所激发的磁场**阻碍**引起感应电流的磁通量的变化。

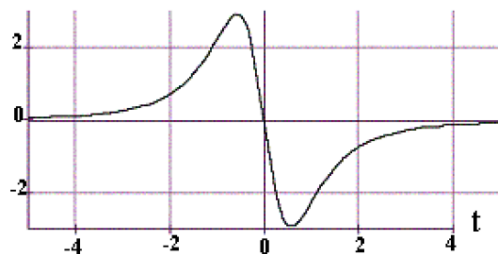
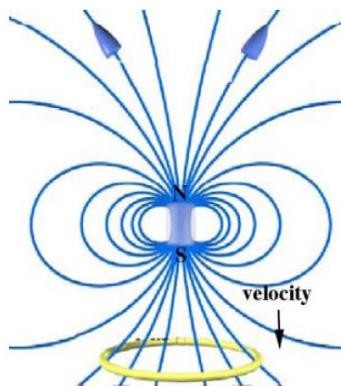
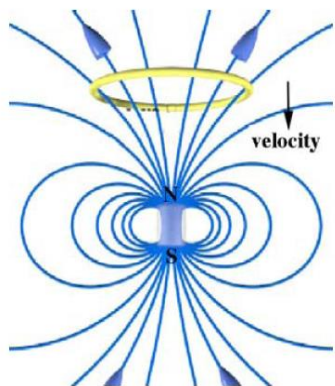
在通有恒定电流 I 的导线旁边有一个正方形回路向右运动，此时回路中感应电流的方向为

- ☒ A 顺时针
- ☐ B 逆时针
- ☐ C 无电流
- ☐ D 不确定

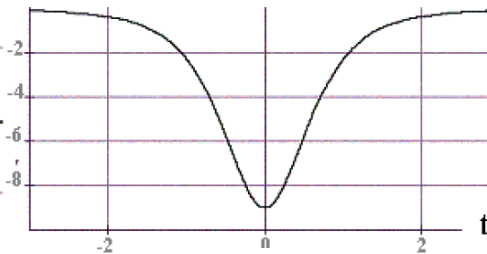


提交

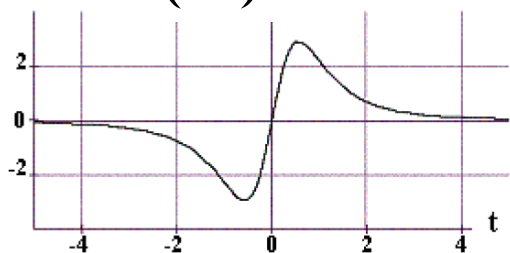
如图所示，一磁铁竖直放置，北极朝上，假设让一线圈匀速从磁铁上方运动到下方，下图中能描述磁通随时间的变化的是 [填空1]，能描述线圈中电流随时间变化的是 [填空2]。
(规定线圈法向：朝上，从南极指向北极)



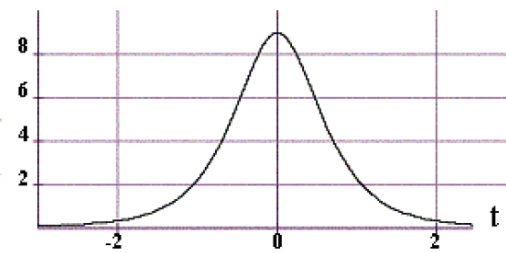
(A)



(B)



(C)



(D)

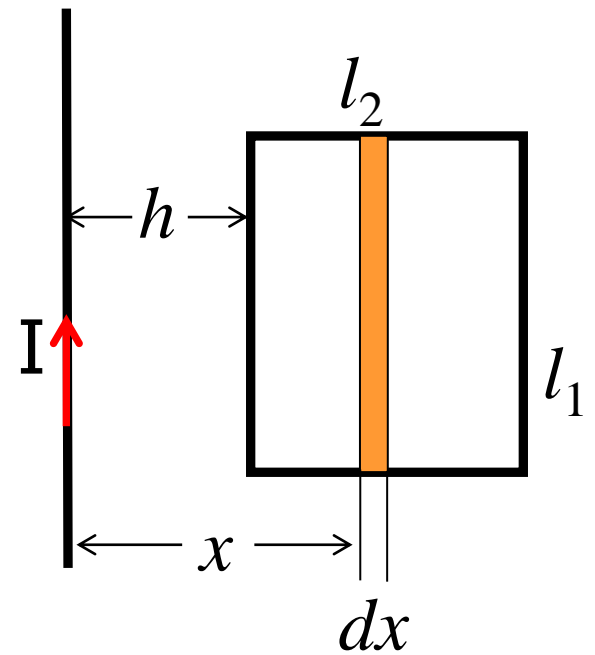
正常使用填空题需3.0以上版本雨课堂

作答

将一条形磁铁插入一闭合导体线圈中，一次迅速插入，另一次缓慢插入，两次插入的前后位置相同，则下列说法中正确的是（ ）

- ☐ A 两次插入过程中线圈中产生感应电流相同
- ☒ B 两次插入过程中线圈中的电荷总流量相同
- ☐ C 两次插入过程中外力所做的功相同
- ☒ D 两次插入过程中线圈中产生的热量不同

例1：在通有电流为 $I=I_0\sin\omega t$ 的长直导线附近有一矩形线圈（长宽分别为 l_1 ， l_2 ，距离导线为 h ），求线圈中感应电动势的大小。



解：取面元，求磁通

$$d\Phi = B dS = \frac{\mu_0 I}{2\pi x} l_1 dx$$

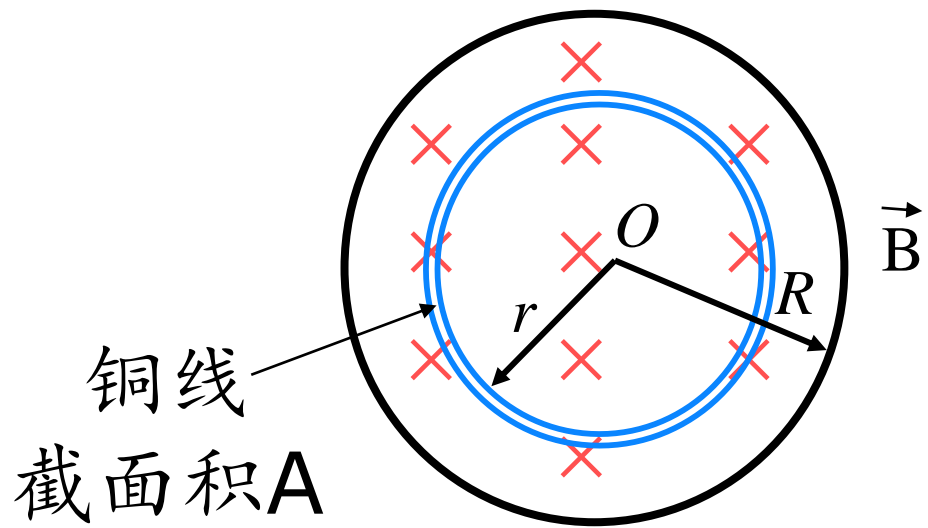
$$\Phi = \int d\Phi = \int_h^{h+l_2} \frac{\mu_0 I}{2\pi x} l_1 dx = \frac{\mu_0 I l_1}{2\pi} \ln \frac{h+l_2}{h}$$

$$\mathcal{E} = -\frac{d\Phi}{dt} = -\frac{\mu_0 I_0 l_1 \omega}{2\pi} \ln \frac{h+l_2}{h} \cos \omega t$$

例2、长直螺线管内磁场均匀分布方向如图，螺线管圆截面半径为 R ，如磁场是变化的且 $dB/dt=k$ ， k 为常数且 $k>0$ 。有一块质量为 m 的铜，用它拉成粗细均匀的导线，做成一半径为 r 的圆形回路，放置于磁场中，如图所示。已知铜的质量密度为 δ ，电阻率为 ρ 。

求：回路中感应电流 I 。

$$I \rightarrow \varepsilon/R$$



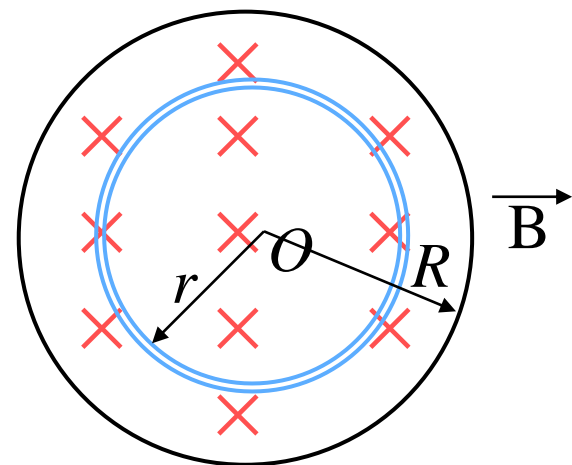
解：由法拉第电磁感应定律可知
感应电动势的方向为逆时针，

$$\varepsilon_i = \frac{d(BS)}{dt} = k\pi r^2$$

$$\because m = \delta \cdot 2\pi r \cdot A \quad \therefore A = \frac{m}{\delta \cdot 2\pi r}$$

$$R = \rho \frac{l}{A} = \frac{\rho \cdot 4\pi^2 r^2 \delta}{m}$$

$$I_i = \frac{\varepsilon_i}{R} = \frac{km}{4\pi\delta \cdot \rho}$$



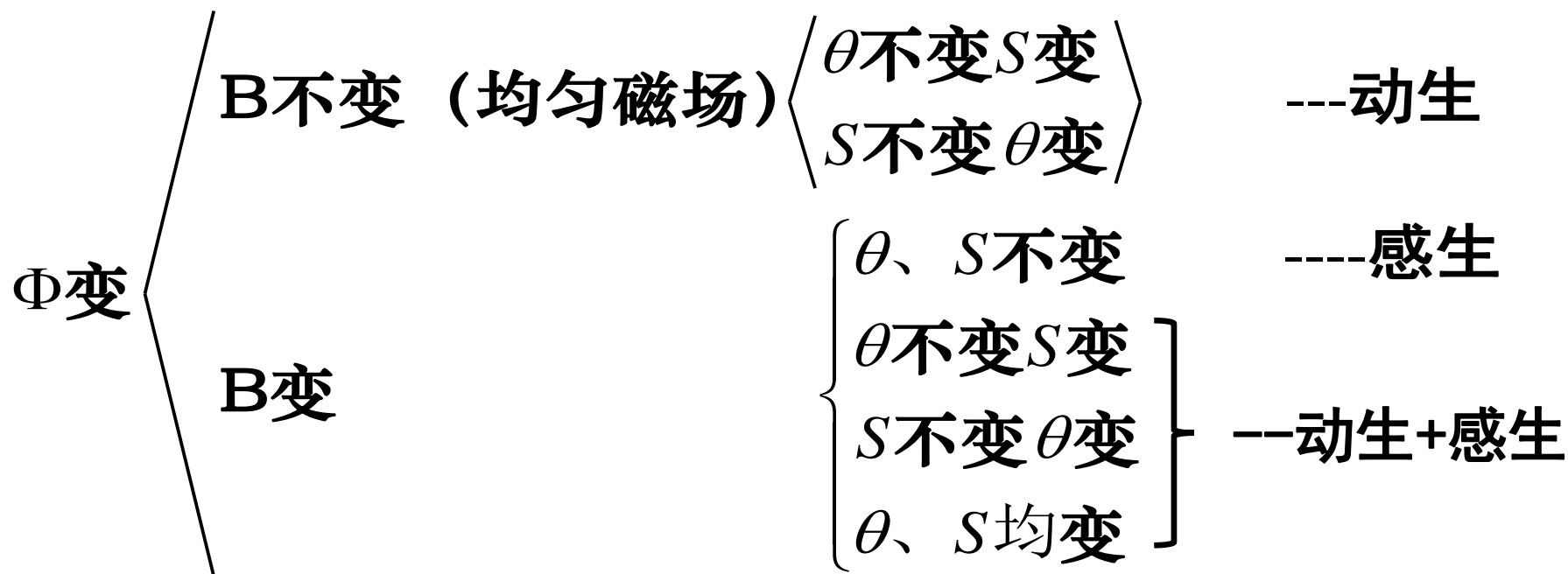
二、 动生电动势

$$\mathcal{E}_D = \int_{-}^{+} (\vec{v} \times \vec{B}) \cdot d\vec{l}$$

■ 分析各种产生感应电动势的现象

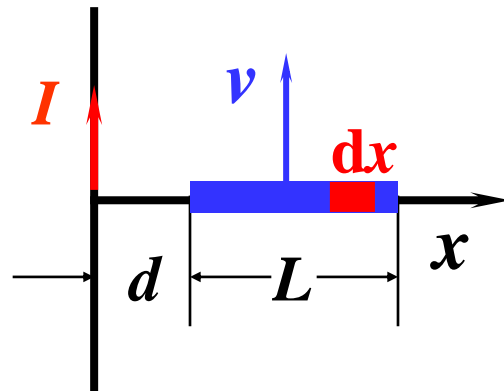
$$\mathcal{E} = -\frac{d\Phi}{dt} = -\frac{d(\vec{B} \cdot \vec{S})}{dt} = -\frac{d(BS\cos\theta)}{dt}$$

■ 感应电动势可分为以下两类



例3：金属杆以速度 v 平行于长直导线移动，求杆中的感应电动势多大，哪端电势高？

解：建立坐标系如图，取积分元 dx ，
由安培环路定理知在 dx 处磁感应强度为：



$$B = \frac{\mu_0 I}{2\pi x} \quad \text{因为：} \vec{v} \perp \vec{B} ; \quad (\vec{v} \times \vec{B}) // -\vec{i}$$

dx 处动生电动势为

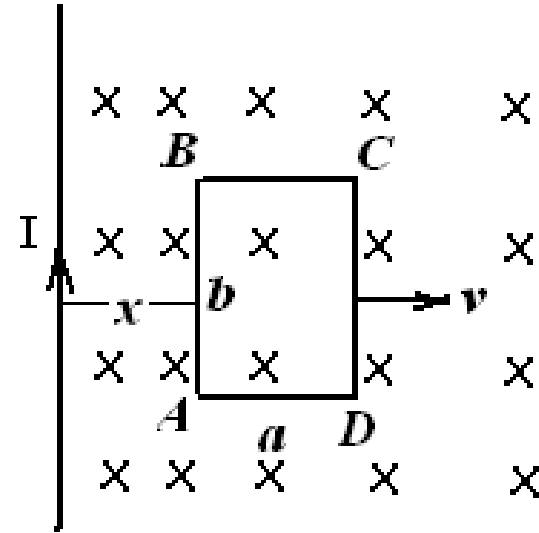
$$d\varepsilon = (\vec{v} \times \vec{B}) \cdot d\vec{l} = -\frac{\mu_0 I v}{2\pi x} dx$$

金属杆
电动势

$$\varepsilon_L = \int_d^{d+L} -\frac{\mu_0 I v}{2\pi x} dx = -\frac{\mu_0 I v}{2\pi} \ln\left(\frac{d+L}{d}\right)$$

式中负号表明左端电势高。

- **例4：**一长直导线载有电流 I ，旁边有一与它共面的矩形线圈，线圈的长边与直导线平行，矩形线圈的边长分别为 a 、 b ，线圈共有 N 匝，若线圈以速度 v 匀速离开直导线，求当矩形线圈与长直导线近的一边相距为 x 时，线圈中的感应电动势的大小和方向。



解：用动生电动势定义式求

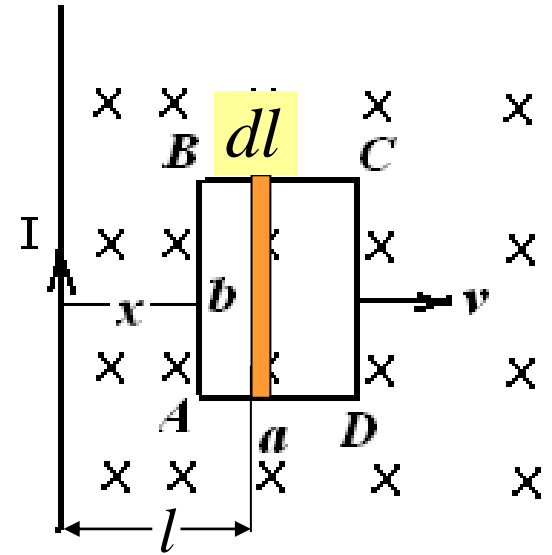
$$\mathcal{E}_{AB} = \int_A^B (\vec{v} \times \vec{B}) \cdot d\vec{l} = vB_{(x)}b = \frac{\mu_0 I}{2\pi x} bv$$

$$\mathcal{E}_{CD} = \int_C^D (\vec{v} \times \vec{B}) \cdot d\vec{l} = -vB_{(x+a)}b = -\frac{\mu_0 I}{2\pi(x+a)} bv$$

$$\mathcal{E} = N(\mathcal{E}_{AB} + \mathcal{E}_{CD}) = \frac{\mu_0 N I b a v}{2\pi x(x+a)}$$

用法拉第电磁感应定律求解

$$\Phi = \int_x^{x+a} \frac{\mu_0 I}{2\pi l} b dl = \frac{\mu_0 I b}{2\pi} \ln \frac{x+a}{x}$$

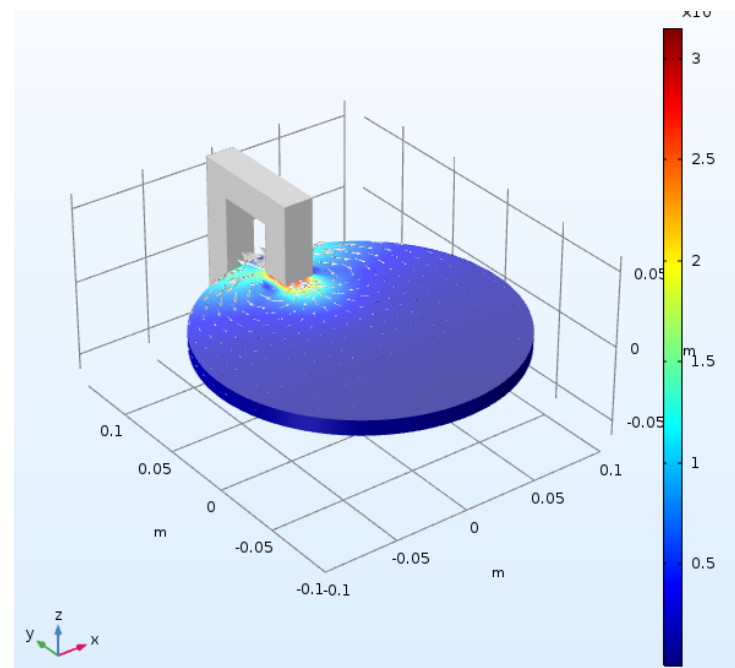
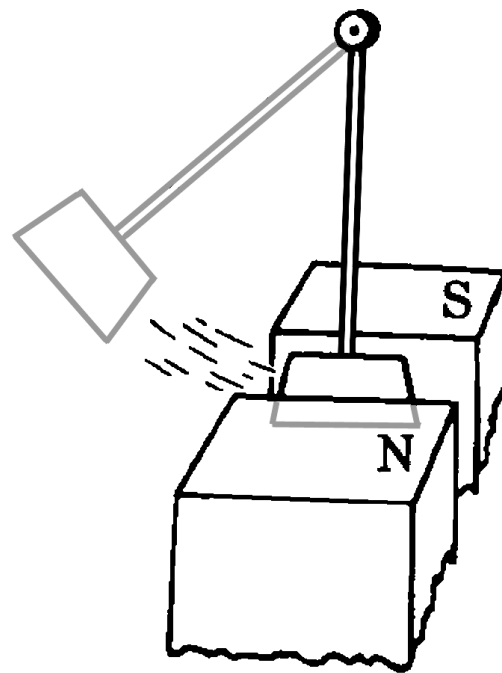
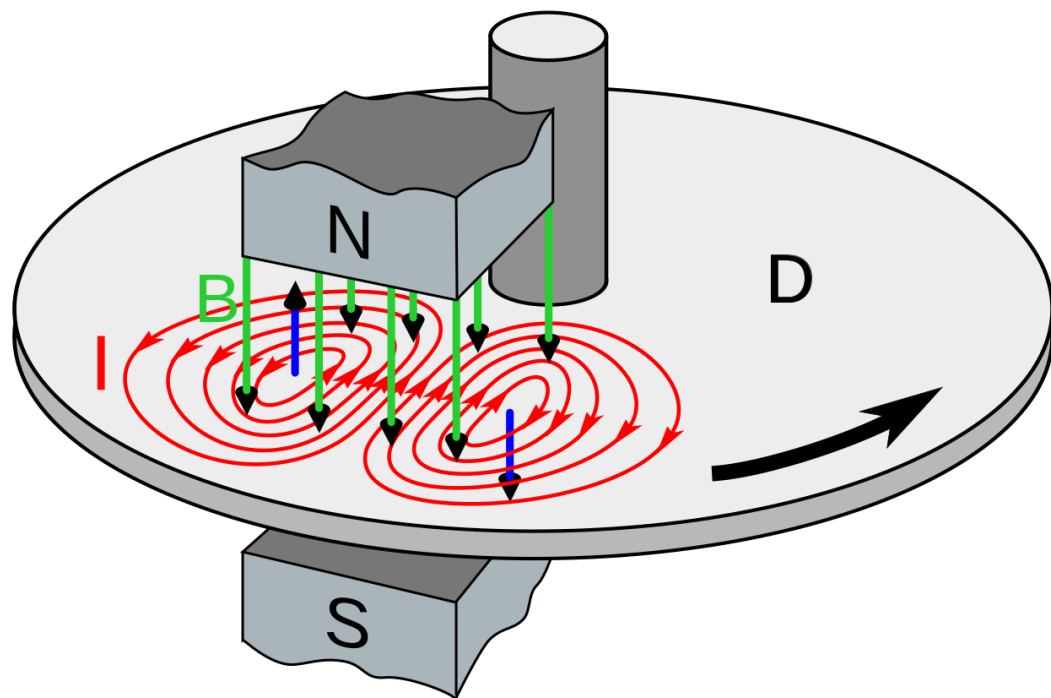


$$\mathcal{E} = -\frac{d(N\Phi)}{dt} = -\frac{\mu_0 N I b}{2\pi} \frac{d}{dt} \left(\ln \frac{x+a}{x} \right) = \frac{\mu_0 N I b a}{2\pi x(x+a)} v$$

电磁阻尼

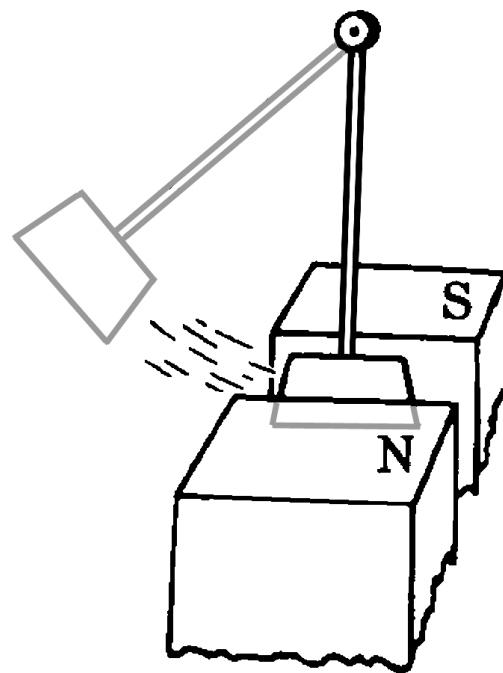
涡电流在磁场中
所受到安培力

——电磁阻尼



电磁阻尼的阻尼力和下列哪些因素有关？

- ☐ A 金属片的电阻率
- ☐ B 金属盘片的面积
- ☐ C 金属盘片的厚度
- ☐ D 外磁场的大小
- ☐ E 盘片摆动速度



提交

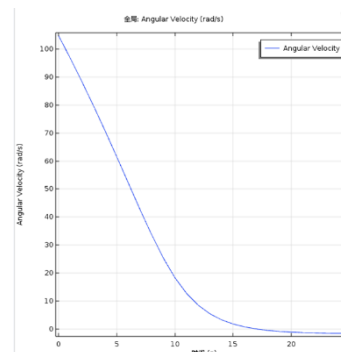
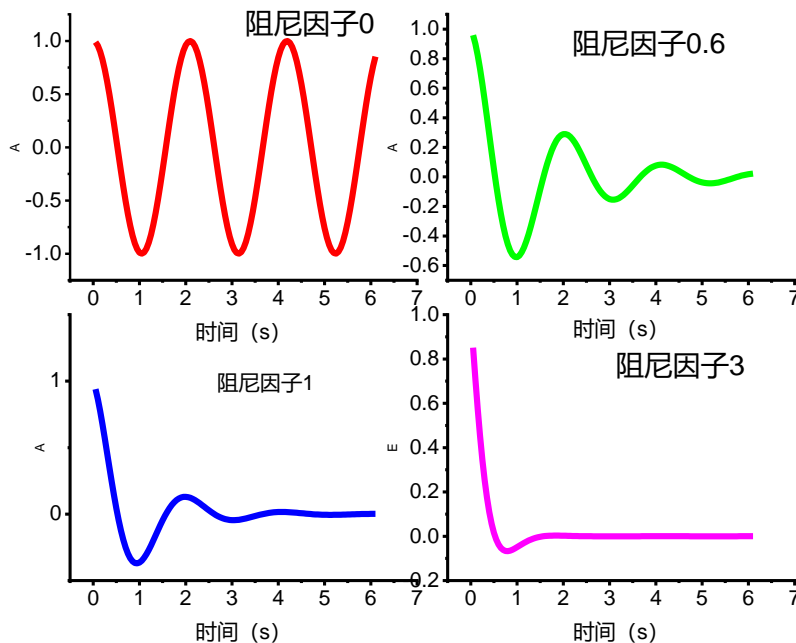
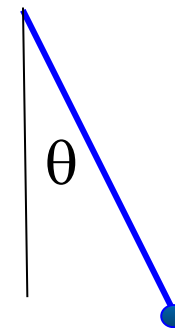
电磁阻尼建模

■ 单摆的阻尼方程:

$$-mg \sin \theta - \varepsilon v = ma_t = mL \frac{d^2 \theta}{dt^2} \quad (f_{\text{阻尼}} = -\varepsilon v)$$

$$\frac{d^2 \theta}{dt^2} + \beta \frac{d \theta}{dt} + \frac{g}{L} \theta = 0 \quad \beta = \frac{\varepsilon}{m},$$

方程解为: $\theta = \theta_0 e^{-\beta t} \cos(\omega t + \phi)$



□ 阻尼系数的建模过程：

金属切割磁力线：动生电场

$$\vec{E} = \vec{v} \times \vec{B}$$

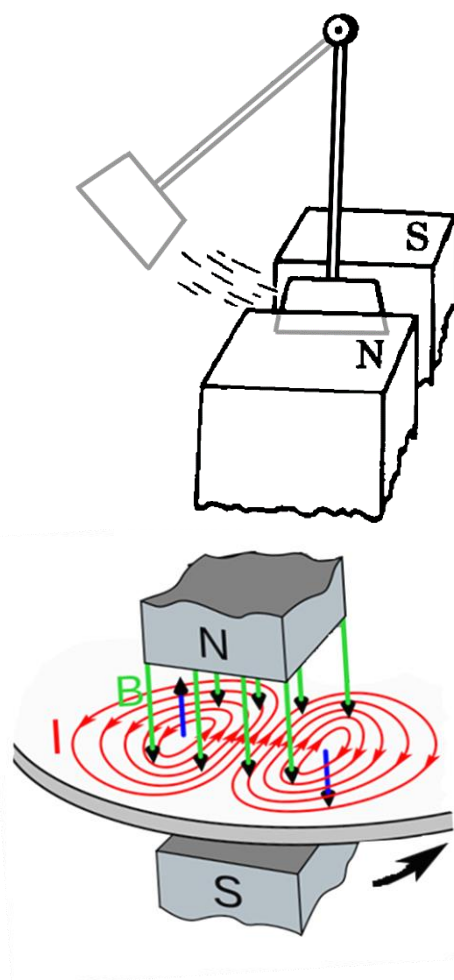
涡流密度： $\vec{J} = \sigma \vec{E} = \sigma (\vec{v} \times \vec{B})$;

电磁阻尼力微元：

$$d\vec{F} = I d\vec{l} \times \vec{B} = JS d\vec{l} \times \vec{B} = \vec{J} \times \vec{B} dV;$$

阻尼力： $F = \int_V \sigma B^2 v dV = \sigma B^2 v V$;

阻尼系数： $\beta = \frac{\varepsilon}{m} = \frac{F}{v} \frac{1}{m} = \frac{\sigma B^2 V}{m}$;



$$(f_{\text{阻尼}} = -\varepsilon v)$$

典型值的代入估算

■ 铝：密度 2.7 g/cm^3

电导率： 3.45×10^7 西门子/米

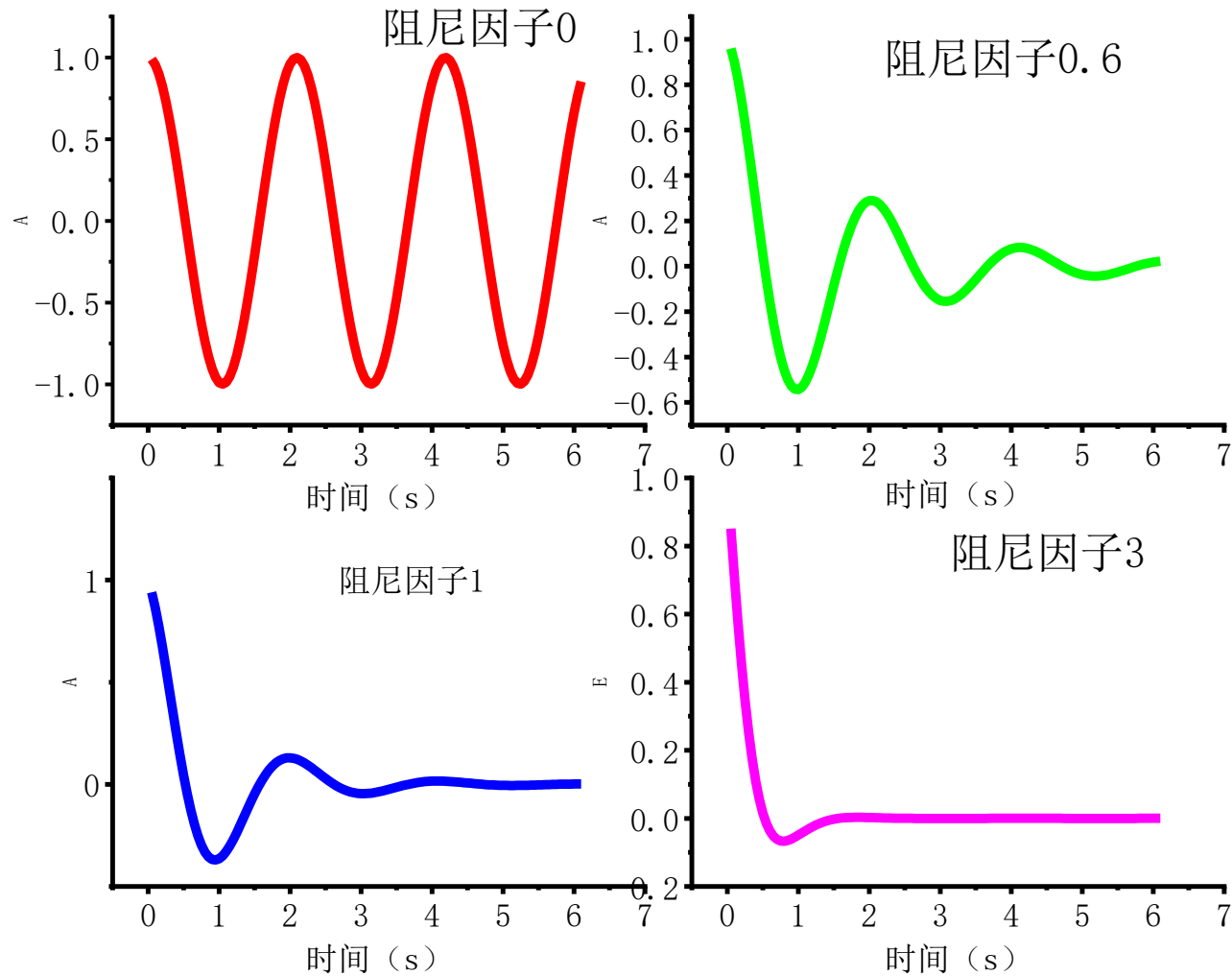
磁场强度： $B=0.05 \text{ T}$

厚度 0.5 厘米；直径 7.0 厘米

$$\text{阻尼系数: } \beta = \frac{\sigma B^2 V}{m} = 1.66;$$

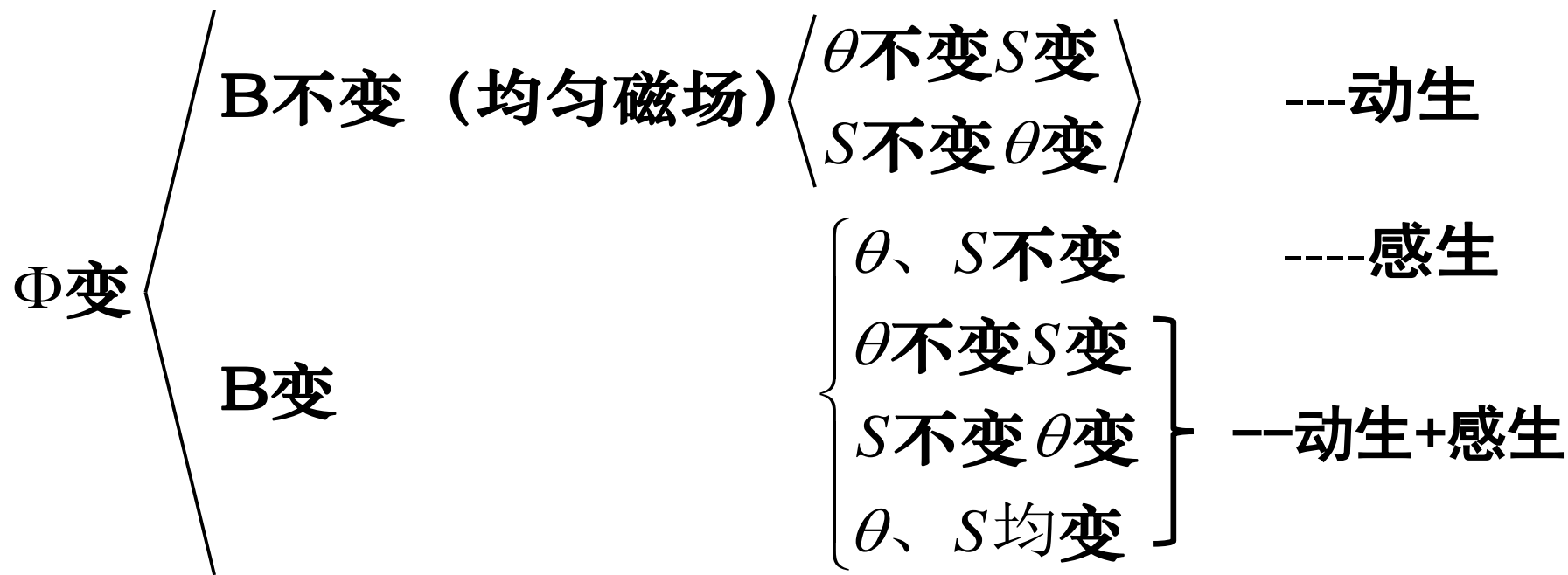
$$\frac{d^2\theta}{dt^2} + \beta \frac{d\theta}{dt} + \frac{g}{L}\theta = 0,$$

$$\theta = \theta_0 e^{-\beta t} \cos(\omega t + \phi)$$



三.感生电动势

$$\mathcal{E} = -\frac{d\Phi}{dt} = -\frac{d(\vec{B} \cdot \vec{S})}{dt} = -\frac{d(BS\cos\theta)}{dt}$$

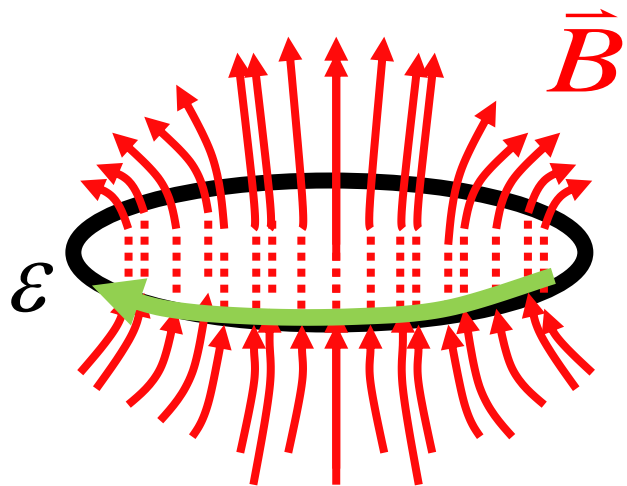


- 线圈没有相对于磁场运动，非静电力显然不是洛伦兹力，**推动电荷运动的非静电力又是什么呢？**

1、感生电场（涡旋电场）的提出

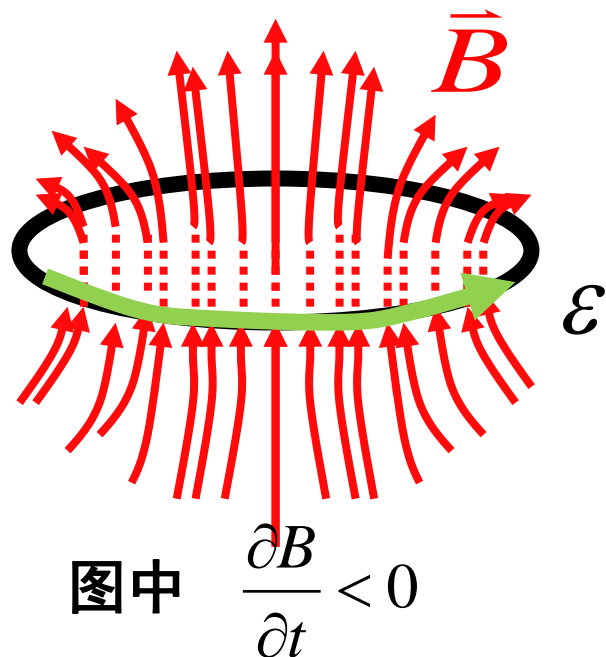
1861年，麦克斯韦提出了感生电场（涡旋电场）的概念。

变化的磁场在其周围空间激发出一种新的涡旋状电场，
不管其周围空间有无导体或介质；这种电场被称为感生电
场（涡旋电场）。



图中 $\frac{\partial B}{\partial t} > 0$

感应电流的方向：**顺时针**



图中 $\frac{\partial B}{\partial t} < 0$

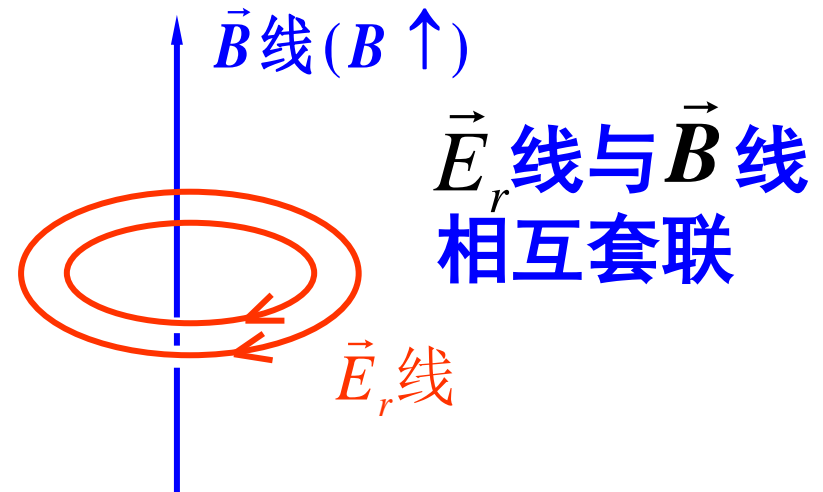
感应电流的方向：**逆时针**

2、涡旋电场的性质

- (1) 只要有变化的磁场，就有涡旋电场。涡旋电场不是由电荷激发的。
- (2) 涡旋电场的电力线是环绕磁感应线的闭合曲线。

因此涡旋电场的环流不为零,即 $\oint_l \vec{E}_r \cdot d\vec{l} \neq 0$

- (3) \vec{E}_r 的通量 $\oiint_s \vec{E}_r \cdot d\vec{S} = 0$ 与B类似，
涡旋电场是无源场。



3、 \vec{E}_r 的环流与感生电动势

$$\therefore \varepsilon_i = \oint_l \vec{E}_r \cdot d\vec{l} = -\frac{d\Phi}{dt}$$

因为回路不动，所以

$$\frac{d\Phi}{dt} = \frac{d}{dt} \iint_s \vec{B} \cdot d\vec{S} = \iint_s \frac{\partial \vec{B}}{\partial t} \cdot d\vec{S}$$

$$\therefore \oint_l \vec{E}_r \cdot d\vec{l} = -\iint_s \frac{\partial \vec{B}}{\partial t} \cdot d\vec{S}$$

可见，只要 $\partial B / \partial t \neq 0$ ，涡旋电场的环流就不为零。

微分形式 $\nabla \times \vec{E}_r = -\frac{\partial \vec{B}}{\partial t}$ 涡旋电场为非保守场，是有旋场。

思考：只有变化磁场所在的空间才会有涡旋电场吗？

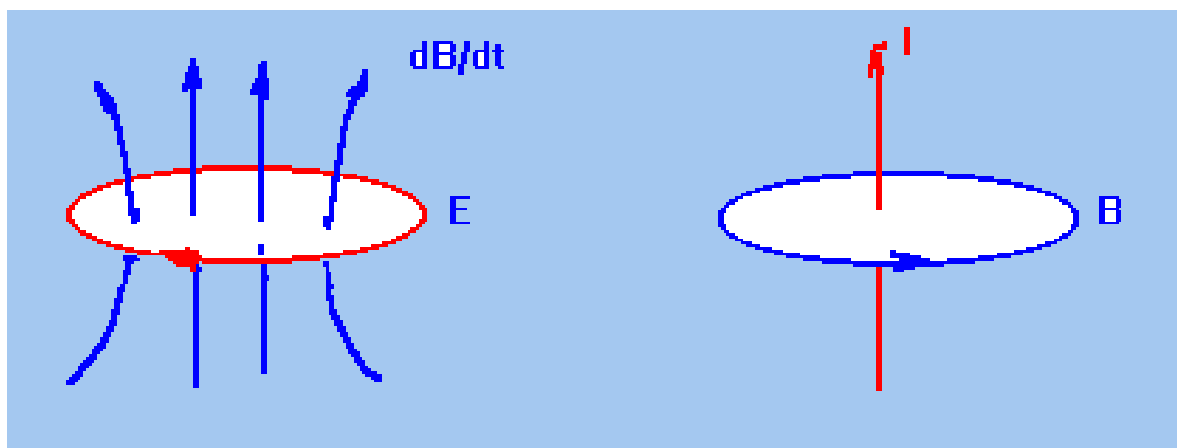
4、涡旋电场与静电场的比较：

	$\vec{E}_{\text{静}}$ (静电场)	$\vec{E}_{\text{旋}}$ (涡旋电场)
产生原因	静电荷激发	变化的磁场激发
电场线	不闭合	闭合
电场力	对电荷有作用力，在导体中能形成电流。	对电荷有作用力，在导体中能形成电流。
性质	$\oint_L \vec{E}_{\text{势}} \cdot d\vec{l} = 0$ <p>保守场</p> <p>有源、无旋场、静电场中两点间的电势与积分路径无关</p>	$\oint_L \vec{E}_{\text{旋}} \cdot d\vec{l} \neq 0$ <p>非保守场</p> <p>无源、有旋场、感生电场中两点间的电势与积分路径密切相关</p>

5、方向判断

$$\therefore \oint_l \vec{E}_r \cdot d\vec{l} = - \iint_s \frac{\partial \vec{B}}{\partial t} \cdot d\vec{S}$$

- 负号:说明 $\vec{E}_{\text{旋}}$ 的方向与 $\partial \vec{B} / \partial t$ 成左手螺旋系统
- 涡旋电场是左旋场，恒磁场是右旋场

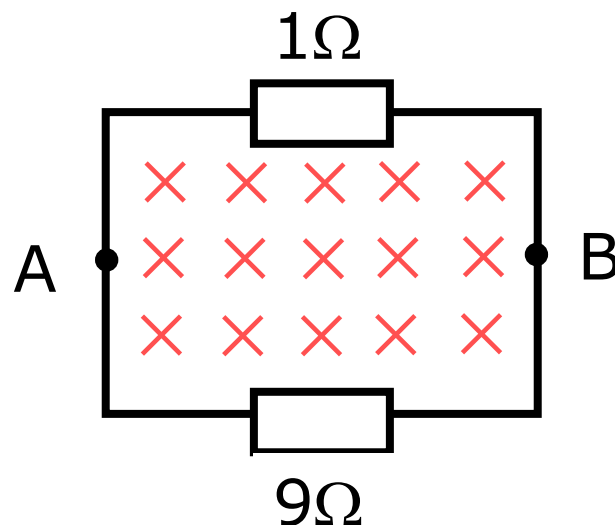


$$\nabla \times \vec{E}_r = - \frac{\partial \vec{B}}{\partial t}$$

$$\nabla \times \vec{B} = \mu_0 \vec{J}$$

在匀速变化的磁场中存在如图所示一回路，假设某一时刻回路中总的感应电动势为10V，此时用一电压表测量AB两端的电压，则电压的绝对值应为：

- ☐ A 1V
- ☐ B 9V
- ☐ C 10V
- ☐ D 0V
- ☒ E 无法确定



提交

6. 感生电动势、涡旋电场的求解示例

例5、在半径为 R 的空间范围内存在一个轴对称的随时间均匀增加的磁场，其磁感应强度 $B(r,t)=Kt/r$ （ K 为正的常数）， B 方向垂直纸面向里，求：涡旋电场的分布。

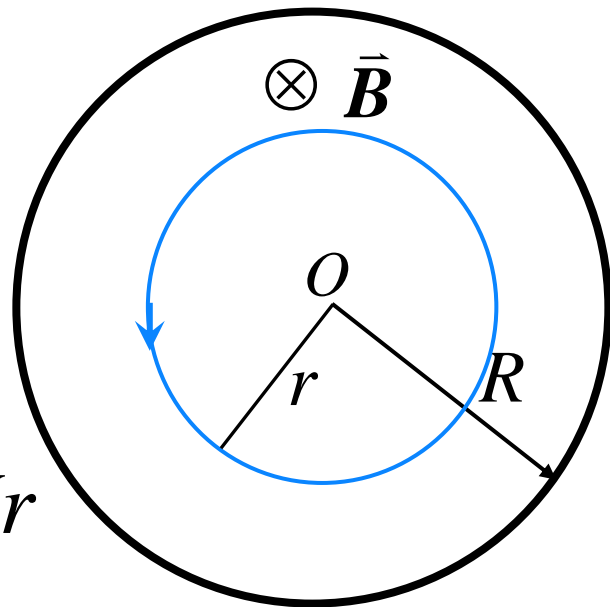
解：涡旋电场的方向为逆时针。对半径为 r 的同心圆形回路：

(1) $r < R$ ，涡旋电场的环路积分：

$$\oint \vec{E} \cdot d\vec{l} = E \cdot 2\pi r$$

$$\varepsilon = \iint_s \frac{d\vec{B}}{dt} \cdot d\vec{S} = \int_0^r \frac{dB}{dt} 2\pi r dr = 2\pi K r$$

$$\therefore \frac{dB}{dt} = \frac{K}{r} \quad \therefore E \cdot 2\pi r = 2\pi K r \quad \text{即 } E = K$$



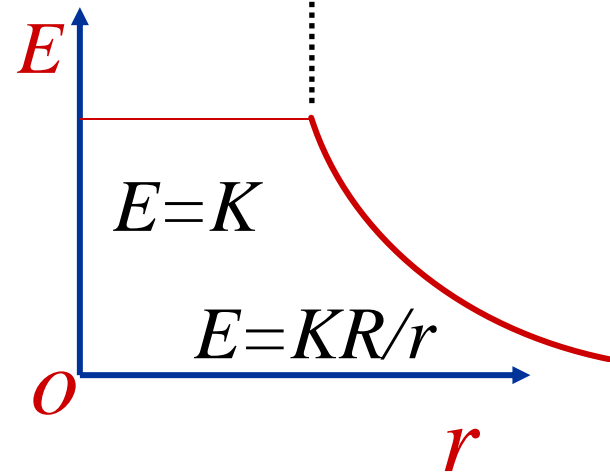
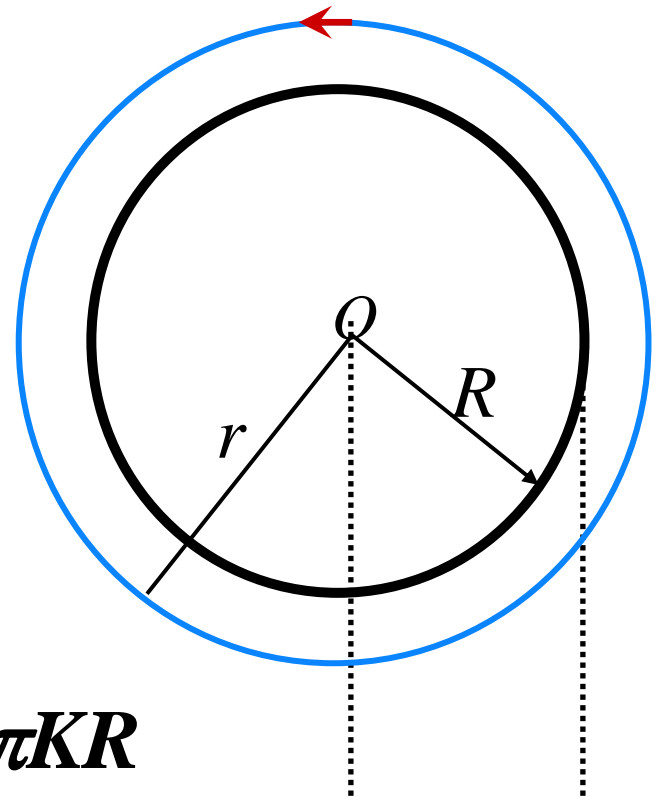
(2) $r > R$, 涡旋电场的环路积分:

$$\oint \vec{E} \cdot d\vec{l} = E \cdot 2\pi r$$

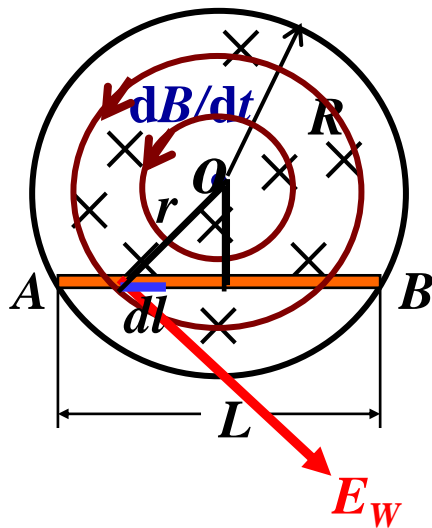
$$\int_S \frac{d\vec{B}}{dt} \cdot d\vec{S} = \int_0^R \frac{dB}{dt} 2\pi r dr = 2\pi K R$$

$$\therefore \frac{dB}{dt} = \frac{K}{r} \quad \therefore E \cdot 2\pi r = 2\pi K R$$

即 $E = KR/r$



例6： 在半径为 R 的圆柱形空间存在均匀磁场 B , 其随时间的变化率 $\lambda = dB/dt > 0$, 且为常数, 求磁场中静止金属棒 (长度为 L) 上的感应电动势。



解： 由电动势的定义式求解 $\varepsilon_w = \int_A^B \vec{E}_w \cdot d\vec{l}$

$$\oint \vec{E}_w \cdot d\vec{l} = E_w \cdot 2\pi r$$

$$\varepsilon = \iint_s \frac{d\vec{B}}{dt} \cdot d\vec{S} = \int_0^r \frac{dB}{dt} 2\pi r dr = \pi \lambda r^2 \quad \text{得} \quad E_w = \frac{r}{2} \lambda$$

在AB上距O为 r 处取小线元 dl , 则

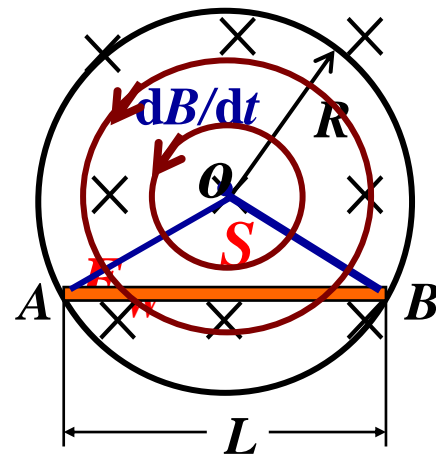
$$d\varepsilon = \vec{E}_w \cdot d\vec{l} = \frac{r}{2} \lambda dl \cos \theta = \frac{\lambda}{2} h dl$$

$$\varepsilon_{AB} = \int_A^B d\varepsilon = \int_0^L \frac{1}{2} \lambda h dl = \frac{\lambda h L}{2} = \frac{L \lambda}{2} \sqrt{R^2 - (L/2)^2}$$

解法二：自圆心作辅助线，与金属棒构成三角形，其面积为 S ：

$$S = \frac{L}{2} \sqrt{R^2 - (L/2)^2}$$

过S的磁通量为 $\Phi_m = -\frac{BL}{2} \sqrt{R^2 - (L/2)^2}$



该回路感应电动势

$$\varepsilon = \oint_l \vec{E}_w \cdot d\vec{l} = -\frac{d\Phi_m}{dt} = \frac{\lambda L}{2} \sqrt{R^2 - (L/2)^2}$$

由于 $\oint_l \vec{E}_w \cdot d\vec{l} = \int_o^A \vec{E}_w \cdot d\vec{l} + \int_A^B \vec{E}_w \cdot d\vec{l} + \int_B^o \vec{E}_w \cdot d\vec{l}$

而辅助线OA和OB上的积分： $\int_o^A \vec{E}_w \cdot d\vec{l} = \int_B^o \vec{E}_w \cdot d\vec{l} = 0$

所以上结果就是金属棒的感应电动势。

如果取OAB的扇形，行不行？为什么？

电磁感应小结

非静电力

$$\varepsilon = -\frac{d\Phi}{dt} = \varepsilon_{\text{动}} + \varepsilon_{\text{感}} = \oint_L (\vec{v} \times \vec{B}) \cdot d\vec{l} + \oint_{(L)} \vec{E}_{\text{旋}} \cdot d\vec{l}$$

全电场: $\vec{E} = \vec{E}_C + \vec{E}_r$

$$\oint_L \vec{E} \cdot d\vec{l} = \oint_L (\vec{E}_C + \vec{E}_r) \cdot d\vec{l} = \oint_L \vec{E}_r \cdot d\vec{l} = -\iint_S \frac{\partial \vec{B}}{\partial t} \cdot d\vec{S}$$

$$\oint_L \vec{E} \cdot d\vec{l} = \iint_S (\vec{\nabla} \times \vec{E}) \cdot d\vec{S}$$

$$\Rightarrow \iint_S (\vec{\nabla} \times \vec{E}) \cdot d\vec{S} = -\iint_S \frac{\partial \vec{B}}{\partial t} \cdot d\vec{S}$$

电磁感应定律的微分形式: $\vec{\nabla} \times \vec{E} = -\frac{\partial \vec{B}}{\partial t}$